

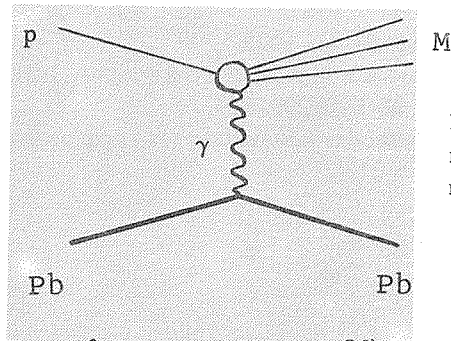
ВКЛАД ЭЛЕКТРОМАГНИТНЫХ ВЗАИМОДЕЙСТВИЙ В СЕЧЕНИЕ РОЖДЕНИЯ АДРОНОВ В pPb-СОУДАРЕНИЯХ ПРИ 10^{11} - 10^{17} эВ

Д.С. Адамов, А.Д. Ерлыкин

УДК 539.17.02

Рассчитано эффективное сечение рождения адронов протоном в кулоновском поле ядра свинца. Относительный вклад электромагнитных взаимодействий в неупругие процессы расчет с увеличением энергии от 3% при 10¹¹ эВ до 17% при 10¹⁷ эВ.

В процессах электромагнитного рождения адронов в pA-соударениях основным является процесс возбуждения протона в кулоновском поле ядра при обмене одним виртуальным фотоном (рис. 1). Дифференциальное сечение этого процесса в приближении Вайцзеккера – Вильямса описывается следующим выражением /1 – 3/:

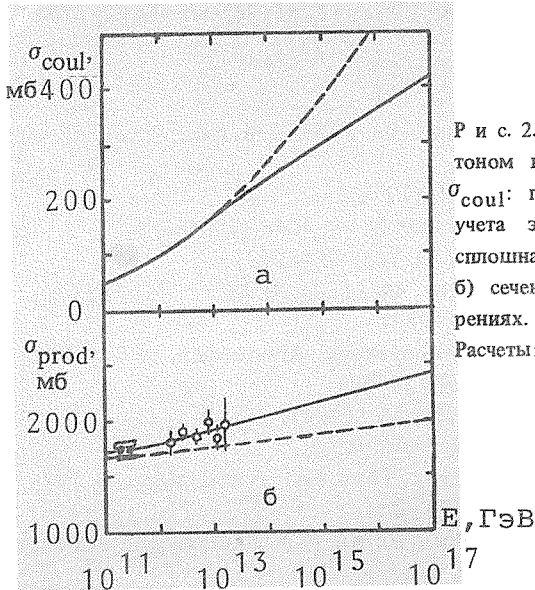


Р и с. 1. Диаграмма электромагнитного возбуждения протона в pPb-взаимодействиях.

$$\frac{d^2 \sigma}{dM^2 dt} = \frac{aZ^2}{\pi} \frac{\sigma_{\gamma p}(M)}{M^2 - m_p^2} \frac{t - t_0}{t^2} [F_{nucl}(t) - F_{at}(t)]^2, \quad (1)$$

где M – масса возбужденной адронной системы; t – квадрат переданного четырехимпульса; t_0 – минимальная величина квадрата переданного импульса, необходимая для возбуждения массы M ; a – постоянная тонкой структуры; Z – электрический заряд ядра; m_p – масса протона; $\sigma_{\gamma p}$ – сечение адренообразования в γp -соударениях; $F_{nucl}(t)$ – электромагнитный формфактор ядра; $F_{at}(t)$ – атомный формфактор.

Сечение электророждения вычислялось путем интегрирования выражения (1). Интегрирование по t проводилось от t_0 до $t_{\max} = 0,01 (\text{ГэВ}/c)^2$. Экспериментальные данные об энергетической зависимости сечения $\sigma_{\gamma p}$ /4 – 6/ аппроксимировались кусочно-линейными функциями до энергий фотона 40 ГэВ. При больших энергиях сечение $\sigma_{\gamma p}$ считалось постоянным и равным 115 мкб. Электромагнитный формфактор ядра свинца $F_{\text{nuc}}(t)$ аппроксимировался функцией $\exp(-126t)$, где t – в $(\text{ГэВ}/c)^2$. В области энергий выше 10^{13} эВ важно экранирование ядра атомными электронами. Данные об атомном формфакторе $F_{\text{at}}(t)$ были взяты из таблиц /7/; при $t > 1,38 \cdot 10^{-9} (\text{ГэВ}/c)^2$ использовалась аппроксимация, аналогичная использованной в работе /2/. Результаты вычислений, проведенных как без учета так и с учетом экранирования, приведены на рис. 2а.



Р и с. 2. а) Сечение рождения адронов протоном в кулоновском поле ядра свинца σ_{coul} : пунктирная кривая – сечение без учета экранирования ядра электронами, сплошная – с учетом экранирования;
б) сечение рождения адронов в $p\text{Pb}$ -соударениях. Эксперимент: \square /9/, \bullet /10/, \circ /11/.
Расчеты: \blacksquare /9/, $--$ /8/.

Теоретические расчеты сечений взаимодействия адронов с ядрами σ_{hA} проводятся на основе характеристик адрон-нуклонных взаимодействий с использованием модели Глаубера. При ускорительных энергиях расчет по этой модели дает хорошее согласие с экспериментом для легких ядер, однако для ядер с большим Z вычисленные сечения адренообразования $\sigma_{hA}^{\text{prod}}$ меньше экспериментальных /8, 9/. Аналогично превышение экспериментальных сечений над расчетными сохраняется и в области энергий, иссле-

дуемых с помощью космических лучей. На рис. 2б экспериментальные данные о сечении pPb-взаимодействий /9, 11/ показаны в сравнении с расчетами, выполненными по модели Глаубера /8/. Энергетическая зависимость сечений pp-взаимодействия в широком диапазоне энергий была взята согласно модели кварк-глюонных струн /12/ с надкритичностью померона $\Delta = 0,14$. Видно, что даже при быстром росте сечений pp-взаимодействия сечение σ_{prod}^{pPb} имеет меньшую, чем в эксперименте, величину и сравнительно медленно растет с энергией. Учет и добавление сечения электророждения адронов позволяет добиться лучшего согласия расчетов с экспериментальными данными и предсказывает более быстрый рост сечения σ_{prod}^{pA} для тяжелых ядер. При этом, например, вклад электромагнитных взаимодействий в сечение σ_{prod}^{pPb} растет от 3 при энергии 10^{11} эВ до 17% при 10^{17} эВ.

Поступила в редакцию 28 января 1985 г.

ЛИТЕРАТУРА

1. Pomeranchuk I.Ya., Shushkevich I.M. Nucl. Phys., 23, 452 (1961).
2. Fäldt G. et al. Nucl. Phys., B 41, 125 (1972).
3. Ferbel T., Zielinski M. Phys. Rev. D, 29, 2646 (1984).
4. Armstrong T.A. et al. Phys. Rev. D, 5, 1640 (1972).
5. Caldwell D.O. et al. Phys. Rev. Lett., 40, 1222 (1978).
6. Roos M. et al. Phys. Lett., 111B, 1 (1982).
7. International Tables for X-Ray Crystallography, Amsterdam, v. 3 (1962).
8. Шабельский Ю.М. ЭЧАЯ, 12, 1070 (1981).
9. Roberts T.J. et al. Nucl. Phys., B 159, 56 (1979).
10. Carroll A.S. et al. Phys. Lett., 80B, 319 (1979).
11. Nam R.A. et al. Preprint P.N. Lebedev Phys. Inst. N 156, Moscow, 1976., Nam R.A. et al., 14 ICRC, 7, 2258 (1975).
12. Кайдалов А.Б., Тер-Мартirosyan К.А. ЯФ, 39, 1545 (1984); ЯФ, 40, 211 (1984).